

**PP 068 "Reducción de la Vulnerabilidad y Atención de Emergencia por Desastres" Producto:
"Estudios para la estimación de los riesgos de desastres"**

Actividad: "Generación de información y monitoreo del Fenómeno El Niño"

Instituto Geofísico del Perú

**INFORME TÉCNICO N° PpR/EI Niño-IGP/2019-07
12/07/2019**

Advertencia: El presente informe sirve como insumo para la Comisión Multisectorial encargada del Estudio Nacional del Fenómeno El Niño (ENFEN). El pronunciamiento colegiado del ENFEN es la información oficial definitiva. La presente información podrá ser utilizada bajo su propia responsabilidad.

Resumen

Según el Índice Costero El Niño (ICEN), basado tanto en los datos de ERSSTv3b (ICENV3), OISSTv2 (ICENOI) y ERSSTv5 (ICENV5), las condiciones climáticas frente a la costa peruana continúan Neutras para el mes de junio, con valores de -0.21 , -0.33 y -0.12°C , respectivamente. Los valores temporales del ICEN (ICENtmp), de las tres fuentes de datos, para los meses de julio y agosto, coinciden en mantener las condiciones Neutras. En lo que respecta al Pacífico Central, el valor del Índice Oceánico Niño (ONI, por sus siglas en inglés) de la NOAA indica que en junio de 2019 se mantuvo la condición Cálida Débil (0.54°C) y, según la información de los valores temporales, se esperaría condiciones Neutras para el mes de julio.

En base a los datos de altimetría satelital la señal de la onda Kelvin fría, indicada en el informe anterior, arribó a la costa peruana a fines de julio e inicios de agosto. La onda Kelvin cálida que se originó en el mes de mayo aún se observa en 120°W aunque con una magnitud inferior a la que se presentó en el verano. Según los modelos oceánicos simples, a inicios de agosto se habría formado una onda Kelvin cálida en el extremo occidental, sin embargo no es muy intensa. En la primera semana de agosto se desarrolló un pulso de viento del este en el Pacífico ecuatorial entre la línea de cambio de fecha y 140°W , y según los modelos numéricos se habría formado una onda Kelvin fría que arribaría a la costa americana entre setiembre y octubre.

Según el promedio de los cinco modelos numéricos climáticos de NMME, inicializados con condiciones del mes de agosto de 2019, para el Pacífico central y oriental, coinciden en indicar condiciones Neutras para el periodo que va de agosto a febrero de 2020.

Introducción

Empezando el año 2016, en el marco del programa presupuestal 068 "Reducción de la Vulnerabilidad y Atención de Emergencia por Desastres", algunas instituciones que conforman la Comisión Multisectorial para el Estudio del Fenómeno El Niño (ENFEN), bajo la coordinación del IMARPE, participan en el producto "Estudios para la estimación de los riesgos de desastres", en el cual el IGP contribuye con la actividad denominada "Generación de información y monitoreo del Fenómeno El Niño". El presente informe técnico es generado en el marco de esta actividad, el cual es entregado al IMARPE, como coordinador de la actividad y presidencia del ENFEN, para ser utilizado como insumo en la evaluación periódica que realiza el ENFEN. El informe técnico generado posteriormente por el ENFEN será la información oficial sobre el monitoreo y pronóstico del Fenómeno El Niño y asociados en el Perú

Índice Costero El Niño

Utilizando los datos de Temperatura Superficial del Mar (TSM), promediados sobre la región Niño1+2 y actualizados hasta el mes de julio de 2019 del producto ERSST v3b, generados por el *Climate Prediction Center (CPC)* de la *National Oceanic and Atmospheric Administration (NOAA, EEUU)*; se ha calculado el Índice Costero El Niño (ICEN; ENFEN 2012) hasta el mes de junio de 2019 y cuyos valores se muestran en la Tabla 1 (columnas 3 y 4), en donde el valor para el mes de junio corresponde a una condición Neutra. Los valores del ICEN, usando ERSST v3b, se pueden obtener del siguiente link: <http://www.met.igp.pe/datos/icen.txt>.

Los valores del ICENOI, calculado de la misma forma que el ICEN pero usando los datos mensuales de OISST v2 y las climatologías de ERSST v3b, las cuales se pueden obtener del siguiente link: <http://www.met.igp.pe/datos/climNino12.txt>, se muestran en la columna 5 y 6 de la Tabla 1. Estos indican, como el ICENv3, condiciones Neutras para el mes de junio.

Otra fuente de datos para calcular el ICEN es la de ERSSTv5 (ICENv5), la cual es generada por el *Climate Prediction Center (CPC)* de la *National Oceanic and Atmospheric Administration (NOAA, EEUU, <https://www.cpc.ncep.noaa.gov/data/indices/ersst5.nino.mth.81-10.ascii>)*. Los valores de este ICEN se muestran en la columna 7 y 8 de la Tabla 1. Al igual que el ICENv3 e ICENOI, el ICENv5 indica condiciones Neutras para el mes de junio.

Hay que señalar que para calcular el ICEN actual; tanto para ICENv3, ICENOI e ICENv5; se utilizan los datos que son denominados, en cada una de estas bases de datos, como “datos en tiempo real”, los cuales se caracterizan por cambiar ligeramente su valor en el transcurso de los siguientes meses. Es por esto que pueden existir pequeñas discrepancias en el cálculo del ICEN para los meses anteriores cuando se use la data actualizada.

Valores del Índice Costero El Niño							
Año	Mes	ICENv3	Categoría	ICENOI	Categoría	ICENv5	Categoría
2019	Marzo	0.25	Neutra	0.26	Neutra	0.41	Cálida Débil
2019	Abril	0.38	Neutra	0.16	Neutra	0.34	Neutra
2019	Mayo	0.28	Neutra	-0.09	Neutra	0.25	Neutra
2019	Junio	-0.21	Neutra	-0.33	Neutra	-0.12	Neutra

Tabla 1. Valores recientes del ICEN obtenidos de ERSST v3b (columna 3 y 4), OISST.v2 (columnas 5 y 6) y ERSST v5 (columnas 7 y 8).

Para los siguientes dos meses se generan versiones preliminares y temporales del ICEN (ICENtmp), estos se calculan utilizando el promedio de los pronósticos de la ATSM de NMME de un mes y dos meses para el primer y segundo ICENtmp, respectivamente. Los resultados se aprecian en la Tabla 2.

Valores del Índice Costero El Niño temporales (ICENtmp)							
Año	Mes	ICENV3	Categoría	ICENOI	Categoría	ICENV5	Categoría
2019	Julio	-0.54	Neutra	-0.50	Neutra	-0.44	Neutra
2019	Agosto	-0.51	Neutra	-0.41	Neutra	-0.42	Neutra

Tabla 2. ICEN temporales (ICENtmp) para julio y agosto son obtenidos de ERSST v3b (columna 3 y 4), OISST.v2 (columnas 5 y 6) y ERSST v5 (columnas 7 y 8). El ICENtmp para julio (agosto) se calcula usando la información del promedio de los valores pronosticados de ATSM de agosto (agosto y setiembre) de NMME.

Según los valores del primer y segundo ICENtmp se estima que en los meses de julio y agosto de 2019, para las tres fuentes de datos, las condiciones climáticas serían del rango Neutral. Esto se confirmarán en los siguientes meses.

Índice Oceánico Niño (ONI)

Por otro lado, para el Pacífico Central (Niño 3.4), el ONI (*Ocean Niño Index* en inglés; <http://www.cpc.ncep.noaa.gov/data/indices/oni.ascii.txt>), actualizado por la NOAA al mes de junio de 2019, es de 0.54 °C, correspondiente a una condición Cálida Débil¹.

Índice Oceánico Niño			
Año	Mes	ONI (°C)	Categoría
2019	Marzo	0.82	Cálida Débil
2019	Abril	0.76	Cálida Débil
2019	Mayo	0.66	Cálida Débil
2019	Junio	0.54	Cálida Débil

Tabla 3. Valores recientes del ONI.(Descarga: <http://www.cpc.ncep.noaa.gov/data/indices/oni.ascii.txt>, (se trabaja solo con los últimos datos en tiempo real, por lo que puede haber discrepancias para los meses anteriores)

Los valores estimados (ONItmp), combinando observaciones y pronósticos de NMME, de julio y agosto, indican condiciones Neutras. (ver Tabla 4).

Índice Oceánico Niño temporales			
Año	Mes	ONItmp (°C)	Categoría
2019	Julio	0.46	Neutro
2019	Agosto	0.27	Neutro

Tabla 4. Estimados preliminares del ONI (ONItmp)

Diagnóstico del Pacífico Ecuatorial

Durante el mes de julio, según los datos observados (IR, MW, OSTIA), las anomalías de la TSM diaria en la región Niño 3.4 continuaron dentro de las condiciones cálidas débiles en las

¹ Los umbrales para establecer la categoría de condiciones cálidas o frías débiles, moderadas, fuertes, y muy fuertes usando el ONI son ± 0.50 , ± 1.00 , ± 1.50 , y ± 2.00 , respectivamente (Nota Técnica ENFEN, 02-2015).

dos primeras semanas del mes, sin embargo en las dos últimas semanas mostró condiciones neutras con anomalía de 0.2 °C en promedio (ver Figura 1a). Para la región Niño 1+2, la ATSM mostró anomalías negativas con valores entre 0° a -1°C, sin embargo, en promedio, se mantuvieron en condiciones neutras. (Figura 1b).

Según la información de las boyas instaladas a lo largo del Pacífico Ecuatorial del proyecto TAO, el promedio mensual de las anomalías del viento zonal en el Pacífico ecuatorial continúan mostrando un dipolo de anomalías positivas y negativas al oeste y este de 160°W (Figura 2). La profundidad de la termoclina al oeste (este) de 120°W se muestra menos (más) profunda de lo normal. En lo que respecta a la ATSM, aún se observan valores positivos con un núcleo, menos intenso que el mes anterior, localizado entre la línea de cambio de fecha y los 165°W (ver Figura 2).

Durante el mes de julio, según la información de TAO, se desarrolló un pulso de viento del oeste al oeste de 150°E y desde inicios de agosto se viene desarrollando un pulso del este entre la línea de cambio de fecha y 140°W. Este pulso de viento del este también se observa en el producto WindSAT (ver Figura 3) y en el *reanalysis* de NCEP.

A pesar que la profundidad de la termoclina al oeste (este) de 130°W se muestra más (menos) profunda de lo normal, la inclinación de la termoclina y el contenido de calor en la región ecuatorial se encuentran dentro de los rangos normales (ver Figura 5). Esto también se puede observar en la boya ubicada en la región oriental (Figura 6).

La información de OLR (relacionada con la actividad convectiva) en la zona la zona A (170°E – 140°W, 5°S-5°N) y B (170°W – 100°W, 5°S-5°N) que se muestran en la Figura 7 y 8, respectivamente, se mostró próxima a su climatología.

La información in situ y remota (Figura 4), y los resultados de los modelos numéricos (Figura 9 y 10) indican que aún se tiene la señal de la onda Kelvin fría frente a las costa americana. Asimismo, aún se observa la señal de la onda Kelvin cálida en 120°W aunque con una magnitud inferior a la observada en el verano pasado.

Ondas Kelvin a lo largo de la costa peruana

Según la información de DUACS (basado en altimetría satelital), en las dos primeras semanas de julio se observaron anomalías positivas débiles a lo largo de la costa peruana. Por otro lado, en los últimos días del mes julio e inicios de agosto se observaron anomalías negativas, las cuales deben ser producto del paso de la onda Kelvin fría. Según la información del flotador ARGO (No. 3901231), el cual se localizó durante julio e inicios de agosto entre 84.5 – 84°W y 3-5°S (frente a la costa norte del Perú pero más allá de las 200 millas náuticas), las anomalías negativas se observan por encima de los 100 metros, mientras que por debajo se observa condiciones neutras hasta los 200 metros (Figura 12).

Pronóstico a corto plazo con modelo de ondas y observaciones

La onda Kelvin cálida débil arribaría, según los modelos numéricos y las proyecciones teóricas, a fines de agosto e inicios de setiembre.

Se espera que el pulso del viento del este, desarrollado durante las dos primeras semanas de agosto se proyecte en una onda Kelvin fría que debe arribar en setiembre. (ver Figura 9 y 10).

Pronóstico estacional con modelos climáticos

Para el Pacífico oriental (región Niño 1+2), según los 4 modelos climáticos de NMME (CFSv2, GFDL_CMC2.1, GFDL_CM2p1-FLOR-A06 y GFDL_CM2p5-FLOR-B01) con condiciones iniciales del mes de agosto de 2019, indica en promedio condiciones Neutras entre los meses de agosto y febrero de 2020. , (ver Tabla 5 y Fig. 13).

Para el Pacífico central (región Niño 3.4), según los 5 modelos de NMME (CFSv2, GFDL_CMC2.1, GFDL_FLOR, NASA_GEOS5v2, y NCAR_CCM4) inicializados con información del mes de agosto, el promedio de los modelos indica condiciones Neutras de agosto a febrero de 2020 (ver Tabla 6 y Fig. 14).

Tabla 5. Pronósticos del ICEN con diferentes modelos climáticos utilizando condiciones iniciales de agosto de 2019.

Modelo	JJA	JAS	ASO	SON	OND	NDE	DEF	EFM
CFS2		-0.35	0.07	0.25	0.25	0.26	0.33	0.40
GFDL		-0.10	0.09	0.09	0.02	0.00	0.03	0.07
GFDL_FLOR_a		-0.08	0.03	0.09	0.17	0.31	0.44	0.49
GFDL_FLOR_b		-0.07	0.12	0.21	0.31	0.41	0.53	0.61
NMME		-0.15	0.08	0.16	0.19	0.25	0.33	0.39
ICENtmp	-0.54							

Tabla 6. Pronósticos del ONI con diferentes modelos climáticos usando condiciones iniciales de agosto de 2019.

	JJA	JAS	ASO	SON	OND	NDE	DEF	EFM
CFS2		0.37	0.23	0.15	0.01	-0.11	-0.19	-0.13
GFDL		0.13	-0.10	-0.12	0.02	0.15	0.24	0.32
NASA		0.18	-0.17	-0.46	-0.70	-0.83	-0.82	-0.70
GFDL_FLOR		0.38	0.24	0.15	0.01	-0.11	-0.19	-0.14
NCAR_CCSM4		0.39	0.22	0.08	-0.02	-0.06	-0.07	0.03
NMME		0.29	0.08	-0.04	-0.14	-0.19	-0.20	-0.12
ONItmp	0.46							

Conclusiones:

1. El ICEN (SSTOI) para junio de 2019 fue de -0.33 (Neutro), los ICENtmp para julio y agosto son -0.50 y -0.41, respectivamente, siendo ambas condiciones Neutras. Usando ERSSTv3 mensual para el cálculo (ICEN), los valores correspondientes son -0.21 (Neutro), y los temporales para julio y agosto son Neutro, -0.54 y -0.51 respectivamente. El ICEN calculado con la versión 5 de ERSST para junio es -0.12 (Neutro) y los temporales también se encuentran en el rango de Neutro para los meses

de julio y agosto, -0.44 y -0.42 respectivamente.

2. En el Pacífico central, el ONI de junio (MJJ) es 0.54 y corresponde a condiciones Cálida Débil y el estimado para julio y agosto corresponden a condiciones Neutras.
3. La información de OLR (relacionada con la actividad convectiva) en las regiones (170°E – 140°W, 5°S-5°N) y (170°W – 100°W, 5°S-5°N) indica valores alrededor a su climatología.
4. Según la información de TAO en la franja ecuatorial, en el mes julio, se mantienen los vientos del este (oeste) al este (oeste) de 160°W. Los vientos del oeste se han observado muy intensos, esto debido a la presencia de pulsos de viento en dicha región. La profundidad de la termoclina al oeste (este) de 120°W se muestra menos (más) profunda de lo normal. Las anomalías de la TSM se mantienen positivas en la mayor parte de la franja ecuatorial, y el máximo valor observado se localiza en la zona Central, entre 180° a 160°W.
5. Según la información de los flotadores ARGO en la franja ecuatorial en la zona oriental desde el mes de agosto se observan anomalías negativas desde la superficie hasta aproximadamente los 120 metros de profundidad.
6. La señal de la onda Kelvin fría, indicada en el comunicado anterior, arribó a la costa peruana a fines de julio e inicios de agosto según la información de altimetría satelital (DUACS).
7. Según los modelos oceánicos simples, a inicios de agosto se habría formado una onda Kelvin cálida en el extremo occidental aunque no es muy intensa.
8. Se espera que la onda Kelvin cálida, en la actualidad débil y localizada en 120°W, arribe a la costa peruana a fines de agosto e inicios de setiembre sin un impacto en la TSM aunque sí en el nivel del mar.
9. Se espera que el pulso de viento del este, desarrollado durante las dos primeras semanas de agosto, se proyecte en una onda Kelvin fría que debe arribar en setiembre.
10. Para el Pacífico Oriental (región Niño 1+2), los modelos de NMME con condiciones iniciales de agosto en promedio indican condiciones NEUTRAS entre los meses de agosto y febrero de 2020. Los modelos CMC1 y CMC2 (Origen Canadá, ya no son parte de NMME)
11. Para el Pacífico central (Región Niño 3.4), el promedio de los modelos de NMME indica condiciones Neutras entre los meses de agosto a febrero de 2020.

Bibliografía

- **Aparco J., K. Mosquera y K. Takahashi**, 2014: Flotadores Argo para el cálculo de la anomalía de la profundidad de la termoclina ecuatorial (Aplicación Operacional), Boletín Técnico "Generación de modelos climáticos para el pronóstico de la ocurrencia del Fenómeno El Niño", Instituto Geofísico del Perú, Mayo, 1, 5.
- Cravatte, S., W. S. Kessler, N. Smith, S. E. Wijffels, Ando, K., Cronin, M., Farrar, T., Guilyardi, E., Kumar, A., Lee, T., Roemmich, D., Serra, Y, Sprintall, J., Strutton, P., Sutton, A., **Takahashi, K.** y Wittenberg, A., 2016: First Report of TPOS 2020. GOOS-215, 200 pp. [<http://tpos2020.org/first-report>]
- DiNezio, P., 2016: Desafíos en la predicción de La Niña, Boletín Técnico "Generación de modelos climáticos para el pronóstico de la ocurrencia del Fenómeno El Niño", Instituto Geofísico del Perú, 3 (9), 4-8.
- **ENFEN 2012**: Definición operacional de los eventos "El Niño" y "La Niña" y sus magnitudes en la costa del Perú. *Nota Técnica ENFEN*.
- **ENFEN 2015**: Pronóstico probabilístico de la magnitud de El Niño costero en el verano 2015-2016. *Nota Técnica ENFEN 02-2015*.
- Huang, B., Thorne, P.W, Banzon, V. F., Boyer, T., Chepurin, G., Lawrimore, J. H., Menne, M. J., Smith, T. M., Vose, R. S., Zhang, H.-M., 2017: Extended Reconstructed Sea Surface Temperature version 5 (ERSSTv5): Upgrades, validations, and intercomparisons, *J. Climate*, doi: [10.1175/JCLI-D-16-0836.1](https://doi.org/10.1175/JCLI-D-16-0836.1)
- Kug, J.-S., Jin, F.-F., An, S.-I., 2009: Two types of El Niño events: Cold tongue El Niño and warm pool El Niño. *J. Climate* 22, 6, 1499–1515, doi:10.1175/2008JCLI2624.1.
- Lavado-Casimiro, W., **Espinoza, J. C.**, 2014: Impactos de El Niño y La Niña en las lluvias del Perú (1965-2007), *Revista Brasileira de Meteorologia*, 29 (2), 171-182.
- Meehl G, Hu A, Teng H, 2016: Initialized decadal prediction for transition to positive phase of the Interdecadal Pacific Oscillation. *Nature Communications*, doi: 10.1038/ncomms11718
- **Morera, S. B.**, Condom, T., Crave, A., Steer, P., and Guyot, J. L., 2017: The impact of extreme El Niño events on modern sediment transport along the western Peruvian Andes (1968-2012). *Scientific Reports*, v. 7, No. 1, p. 11947 DOI:10.1038/s41598-017-12220-x.
- **Mosquera, K.**, 2009: Variabilidad Intra-estacional de la Onda de Kelvin Ecuatorial en el Pacífico (2000-2007): Simulación Numérica y datos observados. Tesis para obtener el grado de Magíster en Física - Mención Geofísica en la Universidad Nacional Mayor de San Marcos.
- **Mosquera, K., B. Dewitte y P. Lagos**, 2010: Variabilidad Intra-estacional de la onda de Kelvin ecuatorial en el Pacífico (2000-2007): simulación numérica y datos observados. *Magistri et Doctores*, Revista de la Escuela de Posgrado de la Universidad Nacional Mayor de San Marcos, Lima, Año 5, No9, julio-diciembre de 2010, p. 55.
- **Mosquera, K.**, 2014: Ondas Kelvin oceánicas y un modelo oceánico simple para su diagnóstico y pronóstico, Boletín Técnico "Generación de modelos climáticos para el pronóstico de la ocurrencia del Fenómeno El Niño", Instituto Geofísico del Perú, Enero, 1, 1, 4-7
- **Reupo, J., y Takahashi, K.**, 2014: Validación de pronósticos con modelos globales: Correlaciones de TSM (1982-2010). Boletín Técnico "Generación de modelos climáticos para el pronóstico de la ocurrencia del Fenómeno El Niño", Instituto Geofísico del Perú, Enero, 1, 1, 8-9.
- **Sulca, J., Takahashi, K., Espinoza, J.C.**, Vuille, M. and Lavado-Casimiro, W., 2017: Impacts of different ENSO flavors and tropical Pacific convection variability (ITCZ, SPCZ) on austral summer rainfall in South America, with a focus on Peru. *Int. J. Climatol.* Doi:10.1002/joc.5185

- **Takahashi, K.**, 2017: Verificación de los pronósticos probabilísticos de El Niño y La Niña costeros. Boletín Técnico "Generación de modelos climáticos para el pronóstico de la ocurrencia del Fenómeno El Niño", Instituto Geofísico del Perú, 4 (8), 8-9.
- **Takahashi, K., Martínez, A. G.**, 2016: The very strong El Niño in 1925 in the far-eastern Pacific. Climate Dynamics, doi: 10.1007/s00382-017-3702-1.
- Thoma M, Greatbatch R, Kadow C, Gerdes R, 2015: Decadal hindcasts initialized using observed surface wind stress: Evaluation and prediction out to 2024. Geophys. Res. Lett. doi:10.1002/2015GL064833

Nota: Los Boletines Técnicos del IGP citados se pueden encontrar en:

<http://intranet.igp.gob.pe/productonino/>

Equipo

Kobi Mosquera, Dr. (responsable)

Jorge Reupo, Lic.

Gerardo Rivera, Bach.

Agradecimientos

A la Dra. Emily Becker (NOAA) y al Dr. Ben Kirtman (RSMAS) por su apoyo con los datos del proyecto NMME, a la Dra. Michelle L'Heureux (NOAA CPC) por su apoyo con los datos de Niño 1+2 para el cálculo del ICEN.

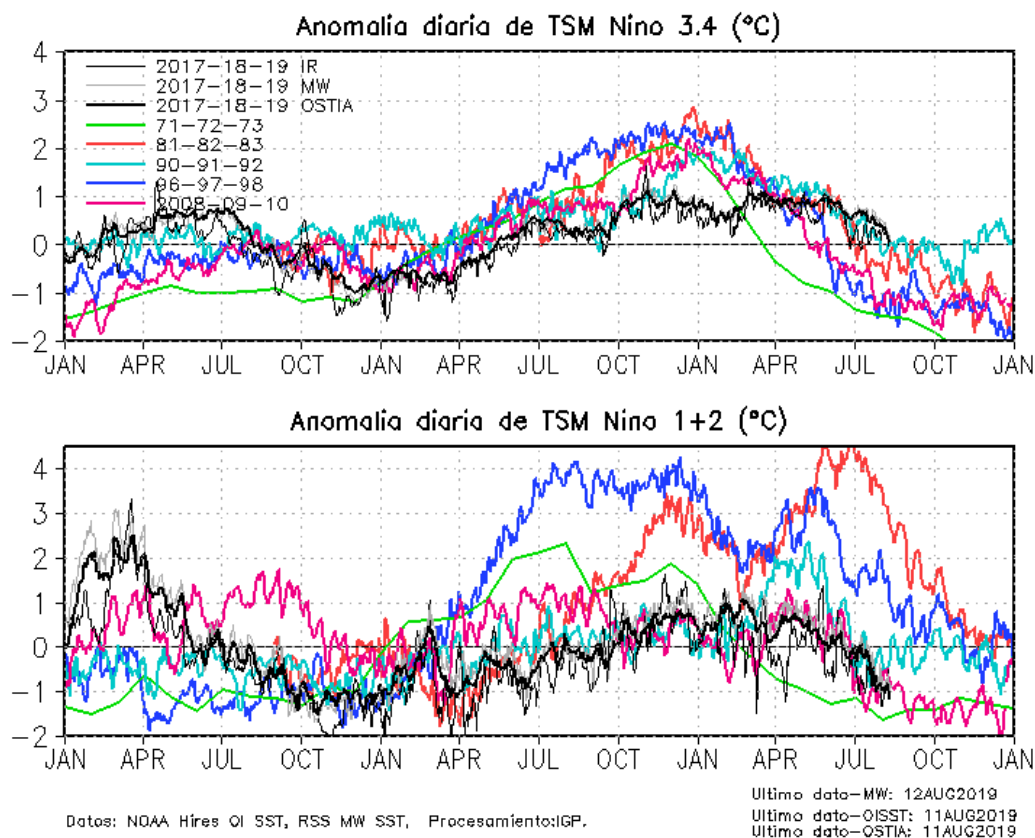


Figura 1. Series de tiempo de la anomalía diaria de la TSM en la región Niño 3.4 (arriba) y en la región Niño 1+2 (abajo). Las líneas en color negro (gruesa), gris y negro (fina) indican la evolución de la anomalía de la TSM en el presente año usando información infrarroja (IR), microondas (MW) y del producto OSTIA, respectivamente. Las líneas de color rojo, azul, celeste y verde indican la evolución de la anomalía de la TSM para los años de Niña costera 1985, 2007, 2010 y 1988. Elaboración: IGP.

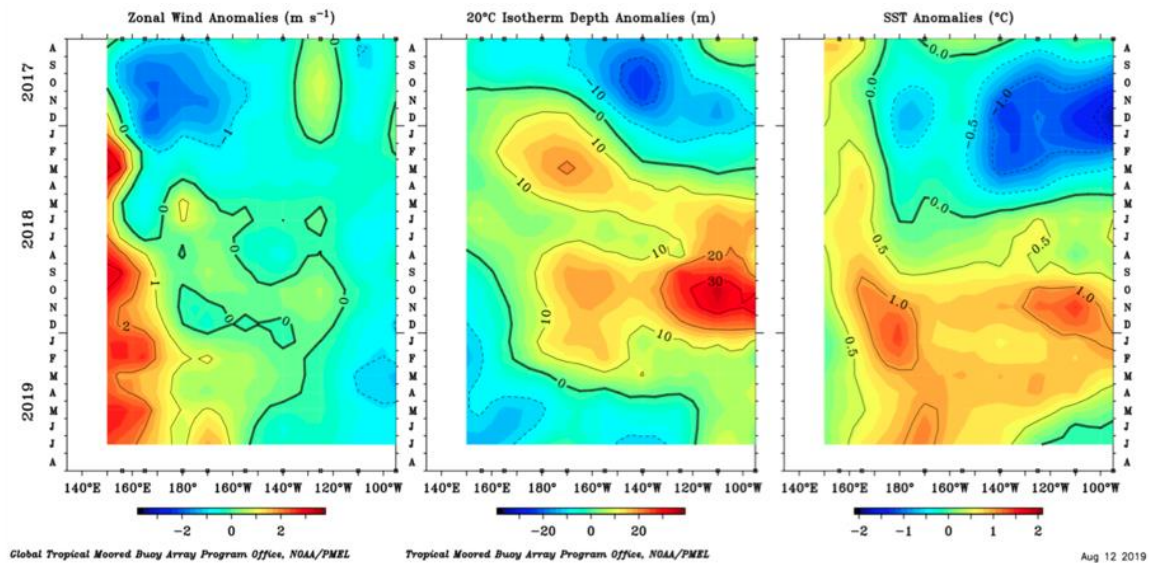
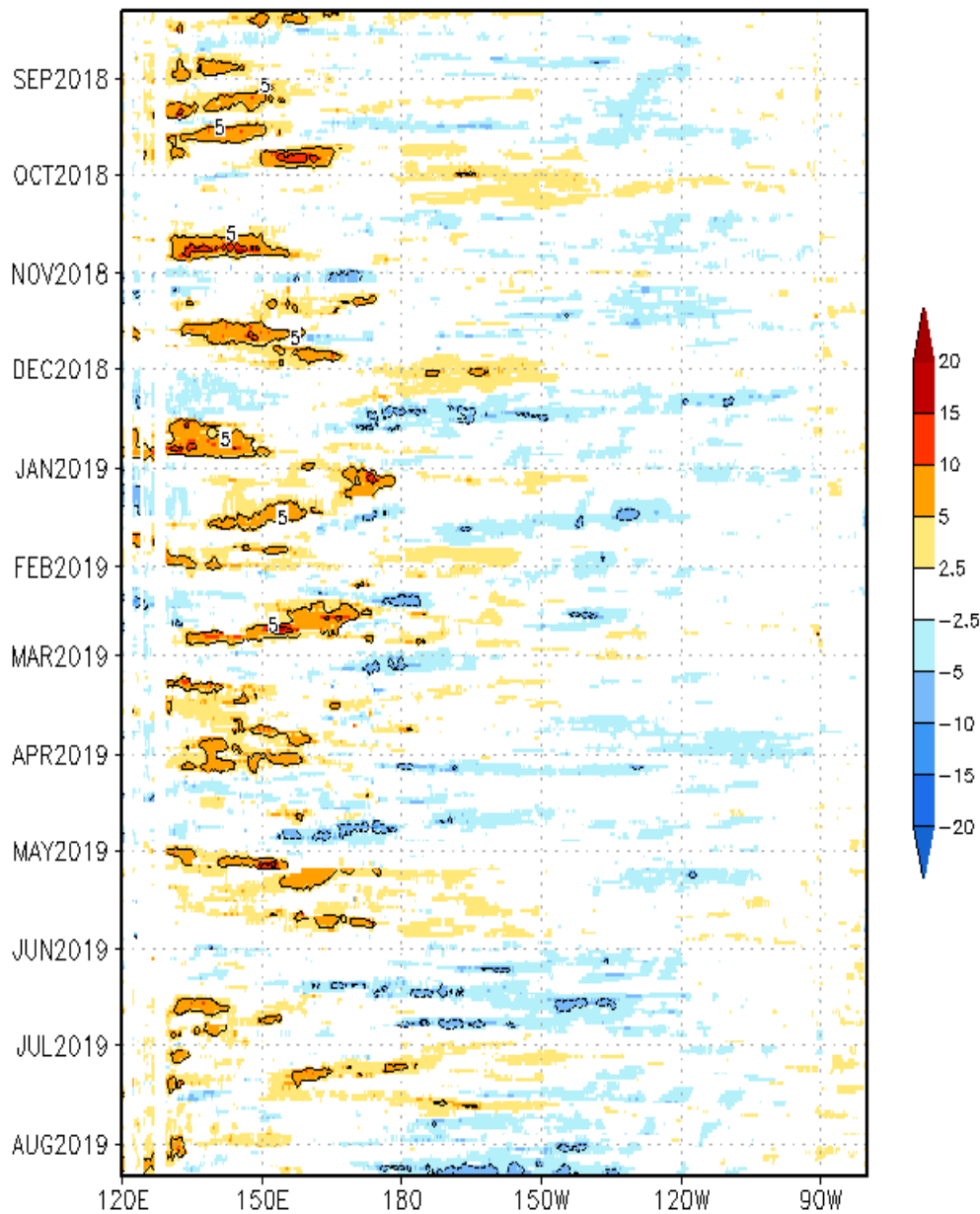


Figura 2. Promedio mensual de la anomalía de: (a) el viento zonal, (b) la profundidad de la isoterma de 20°C (termoclina) y (c) la temperatura superficial del mar; a lo largo de la franja ecuatorial del Pacífico (2°S-1°N) . Esta imagen se elaboró de otras que se obtienen del proyecto TAO: www.pmel.noaa.gov/tao.

Anomalia de esfuerzo de viento zonal (10^2Nm^{-2})
promediada entre 2S y 2N



Datos WINDSAT, Procesamiento:IGP, Ultimo dato:11aug2019

Figura 3. Diagrama longitud-tiempo de las anomalías del esfuerzo de viento zonal ecuatorial basado en datos del producto WINDSAT hasta el 11 de agosto de 2019. Elaboración: IGP.

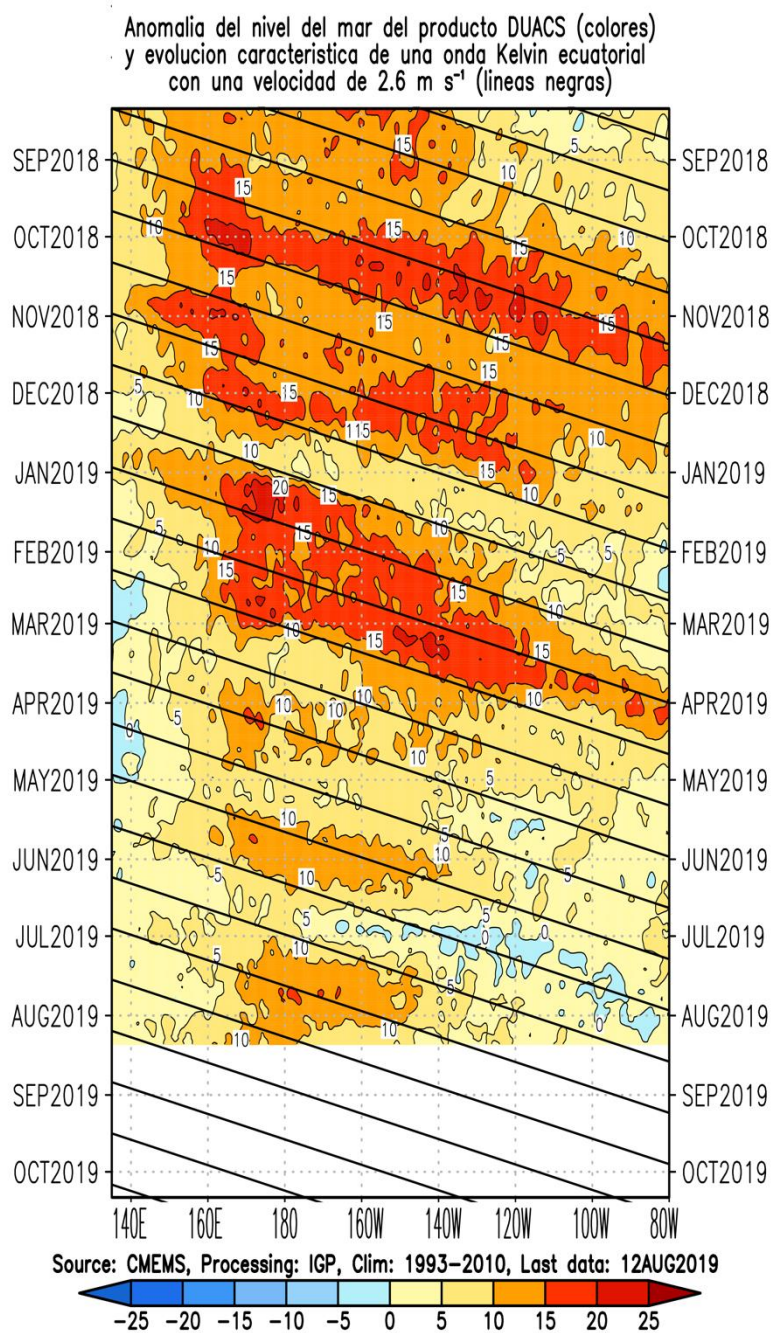


Figura 4. Anomalía del nivel medio del mar en el Pacífico ecuatorial usando el producto DUACS. Las líneas diagonales indican la trayectoria teórica de la onda Kelvin si tuviera una velocidad aproximada de 2.6 m/s . Elaboración IGP.

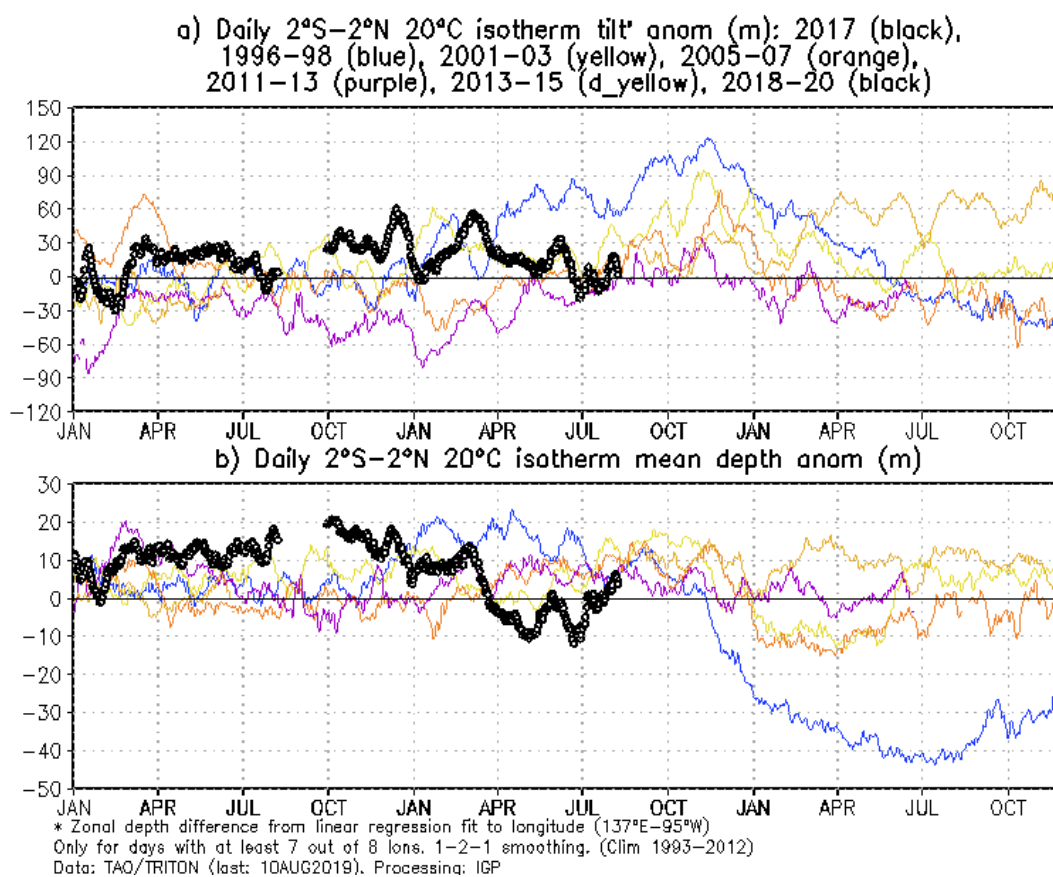


Figura 5 a) Inclinación de la termoclina en el Pacífico ecuatorial basado en los datos de ARGO entre 2°N y 2°S. **b)** Contenido de calor en la región ecuatorial basado en los datos de las boyas TAO entre 2°N y 2°S. A diferencia de informes anteriores. Elaboración: IGP.

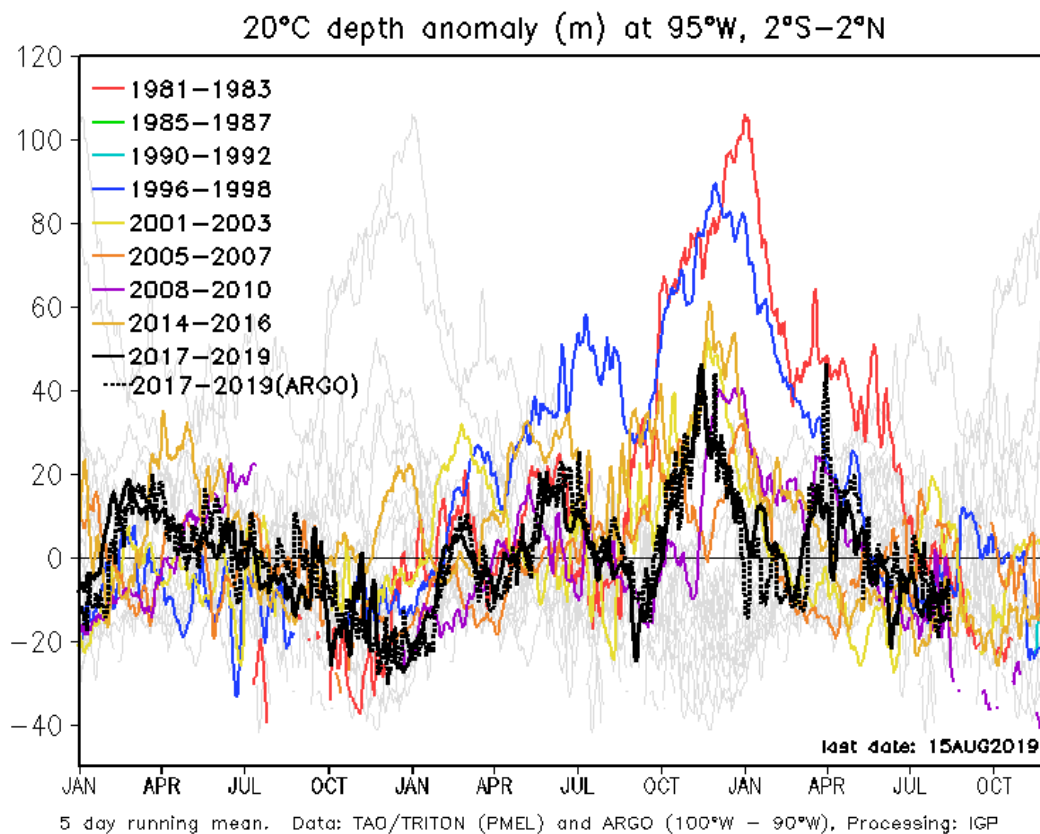


Figura 6. Anomalía de la profundidad de la isoterma de 20 °C (m) en 95° W ,2°S-2°N, con datos de ARGO y TAO. Elaboración: IGP.

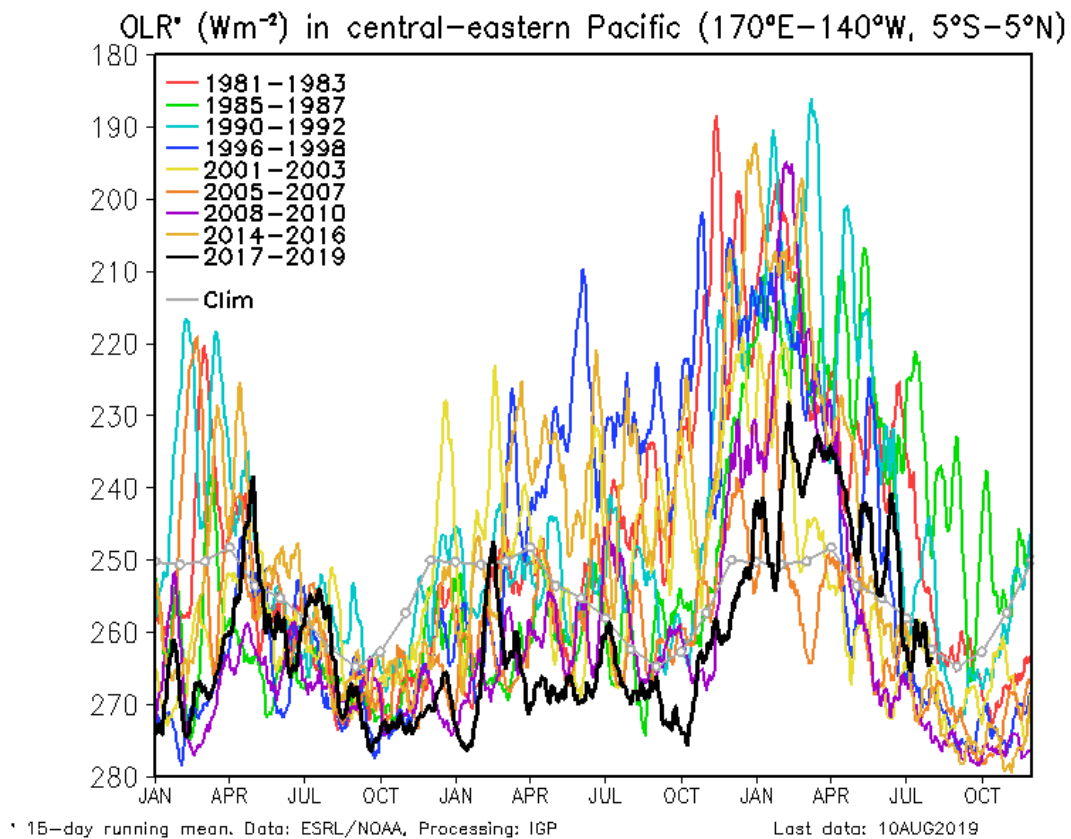


Figura 7. Actividad convectiva en el Pacífico Central Oriental ($170^{\circ}E-140^{\circ}W$ y $5^{\circ}S-5^{\circ}N$) en base a la información de OLR (Outgoing Longwave Radiation). Elaboración IGP

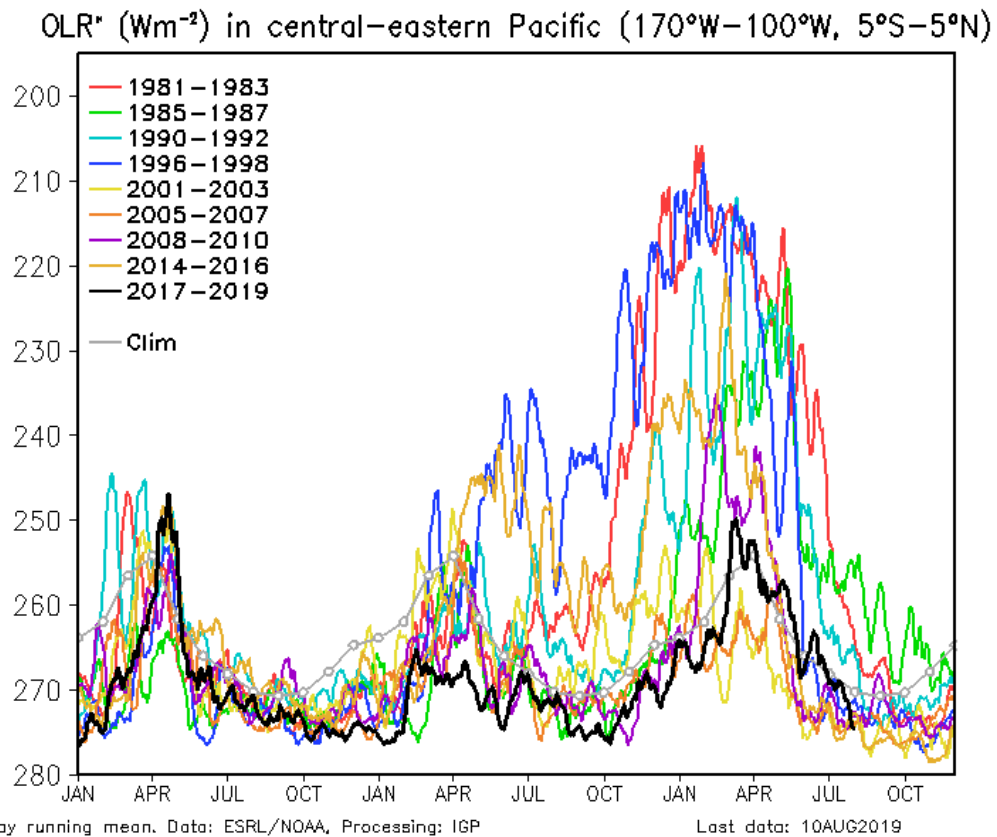


Figura 8. Actividad convectiva en el Pacífico Central Oriental ($170^{\circ}W-100^{\circ}W$ y $5^{\circ}S-5^{\circ}N$) en base a la información de OLR (Outgoing Longwave Radiation). Elaboración IGP.

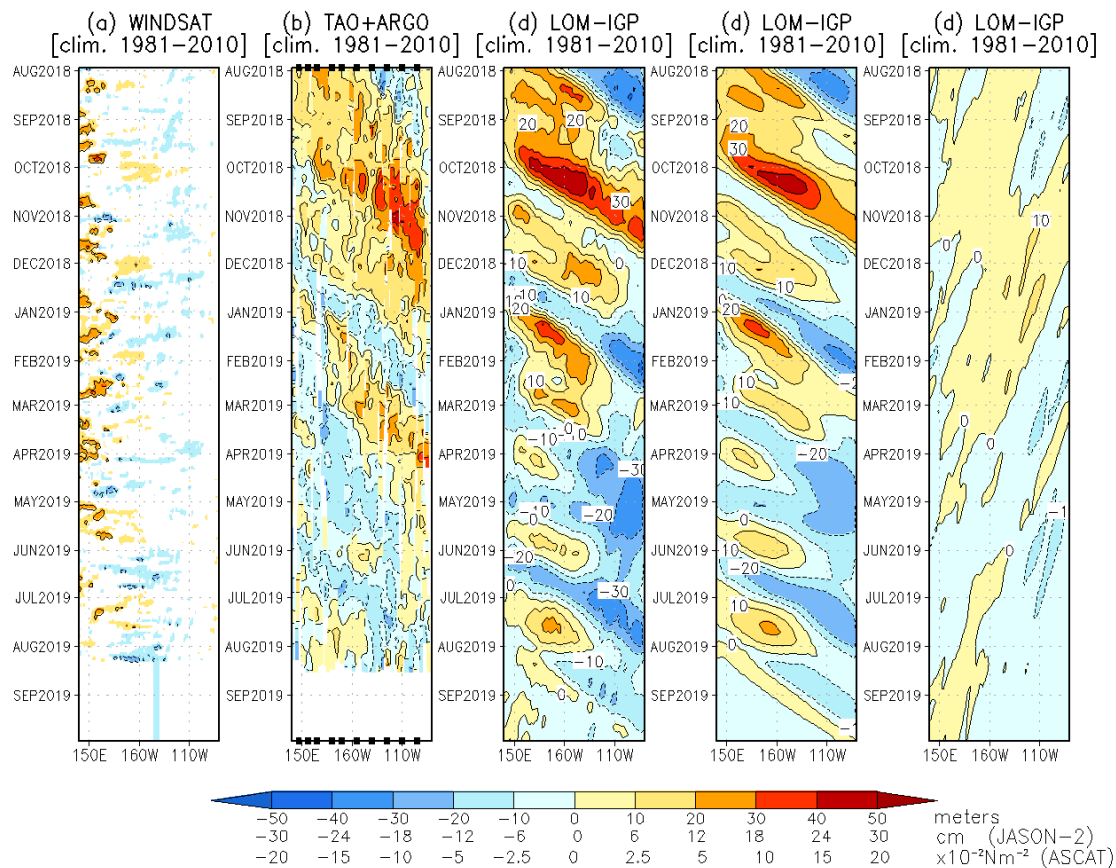


Figura 9. Diagrama longitud-tiempo de las anomalías de esfuerzo de viento zonal ecuatorial basado en datos de WINDSAT (a), anomalía de la profundidad de la isoterma de 20°C datos de TAO y los derivados de ARG0 (b), diagrama de la onda Kelvin y Rossby (c), diagrama de la onda Kelvin (d) y finalmente diagrama de la onda Rossby, calculada con el modelo LOM-IGP (forzado por WINDSAT, y $\tau=0$ para el pronóstico). Las líneas diagonales representan la trayectoria de una onda Kelvin si tuviera una velocidad de 2.6 m/s. Elaboración: IGP.

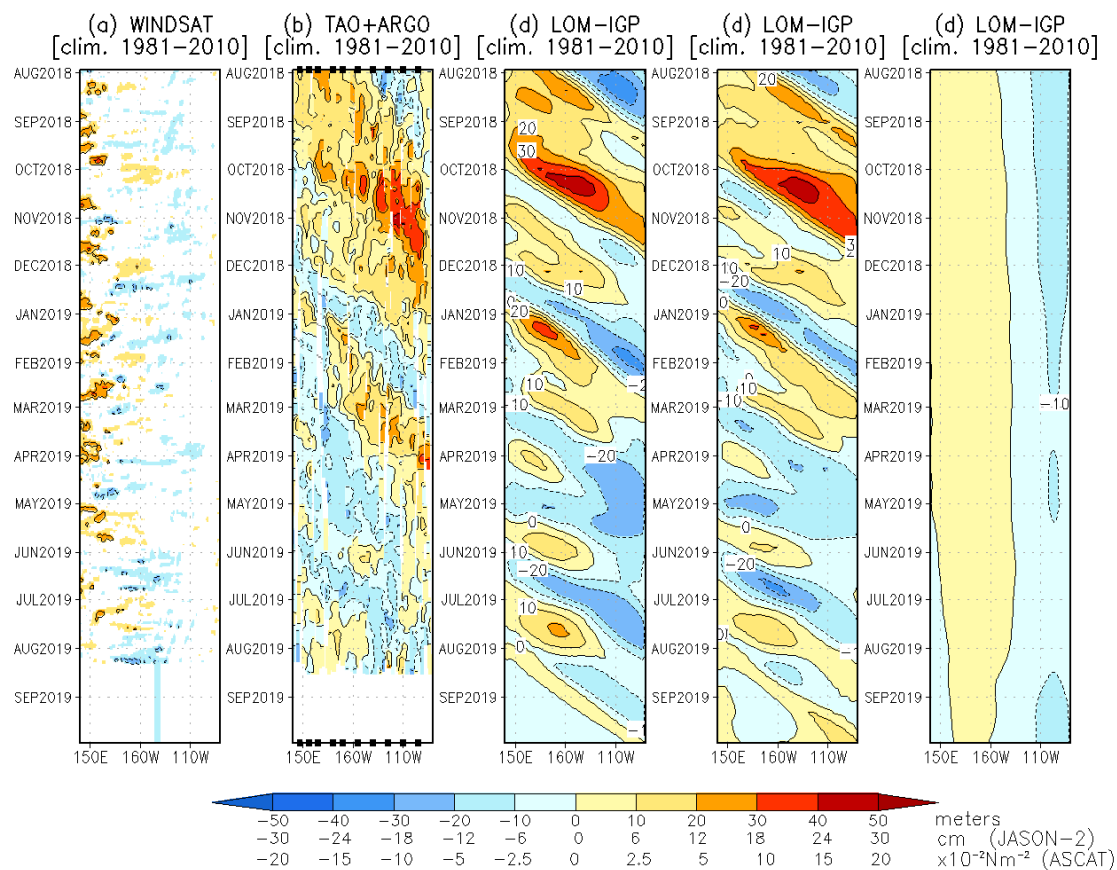


Figura 10. De izquierda a derecha: diagrama longitud-tiempo de las anomalías de esfuerzo de viento zonal ecuatorial basado en datos de WINDSAT (primer panel); anomalía de la profundidad de la isoterma de 20°C de TAO y los derivados de ARG0 (segundo panel); onda Kelvin (tercer panel), onda Kelvin intraestacional (cuarto panel), Onda Kelvin interanual multiplicado por un factor de dos (quinto panel). Las tres figuras de la derecha son resultados numéricos de un modelo oceánico lineal, forzado con información de vientos de WINDSAT. Las líneas diagonales representan la trayectoria que tendría la onda Kelvin si tuviera una velocidad de 2.6 m/s. Elaboración: IGP.

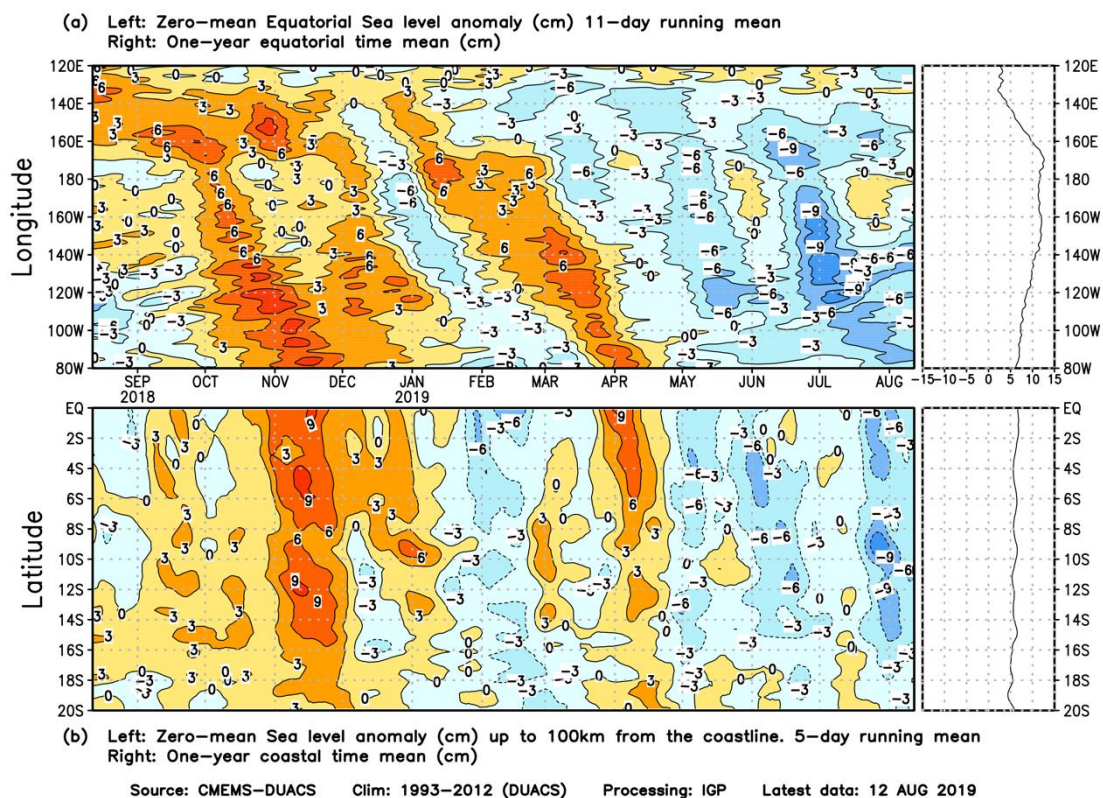


Figura 11. Anomalía centrada del nivel del mar a lo largo de la franja ecuatorial (Figura superior izquierda) y a lo largo de la costa peruana (Figura inferior izquierda). A la derecha se muestra el promedio de los últimos 365 días en la franja ecuatorial (superior) y a lo largo de la costa (inferior), que fueron sustraídos a las figuras de la izquierda, respectivamente. Las unidades están centímetros.

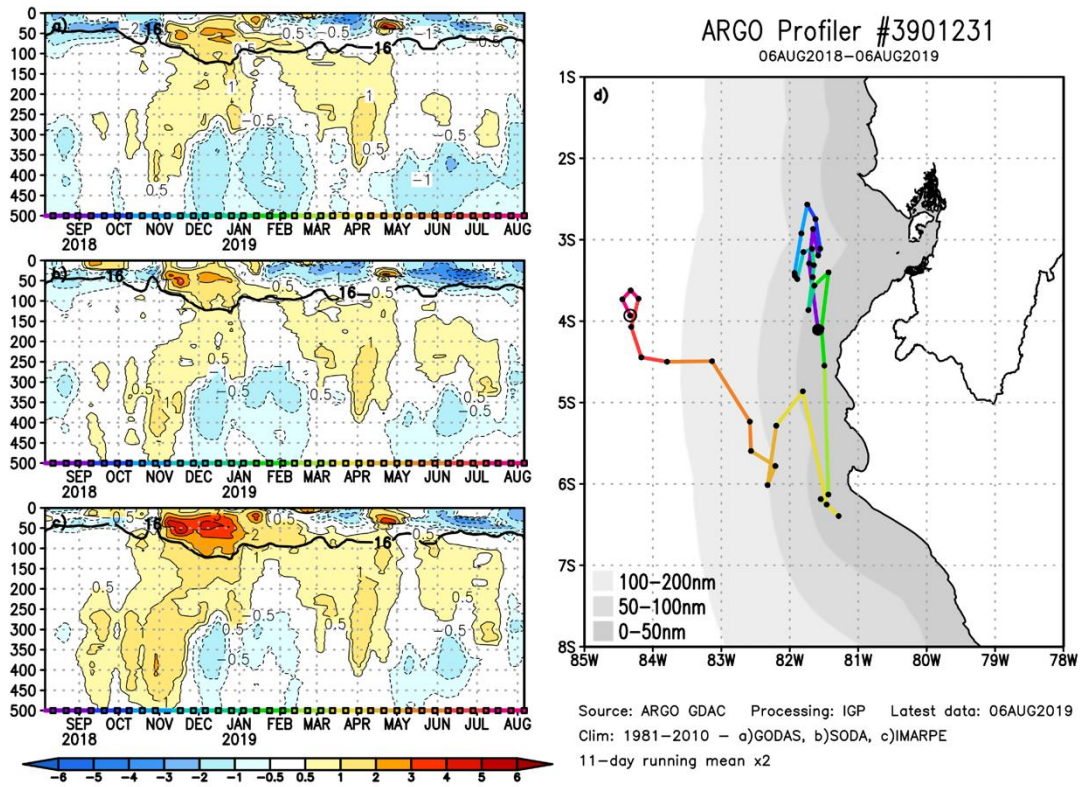


Figura 12. A la izquierda se aprecia la anomalía de la temperatura del mar hasta los 500 metros de profundidad calculada de los datos del flotador ARGO No. 3901231. Esta anomalía se calcula en base a la climatología (1981-2010) de: (a) GODAS, (b) SODA e (c) IMARPE. A la derecha se aprecia la trayectoria del flotador en el último año. Cada color indica un periodo de aproximadamente 30 días, en donde el círculo abierto indica la última posición del flotador.

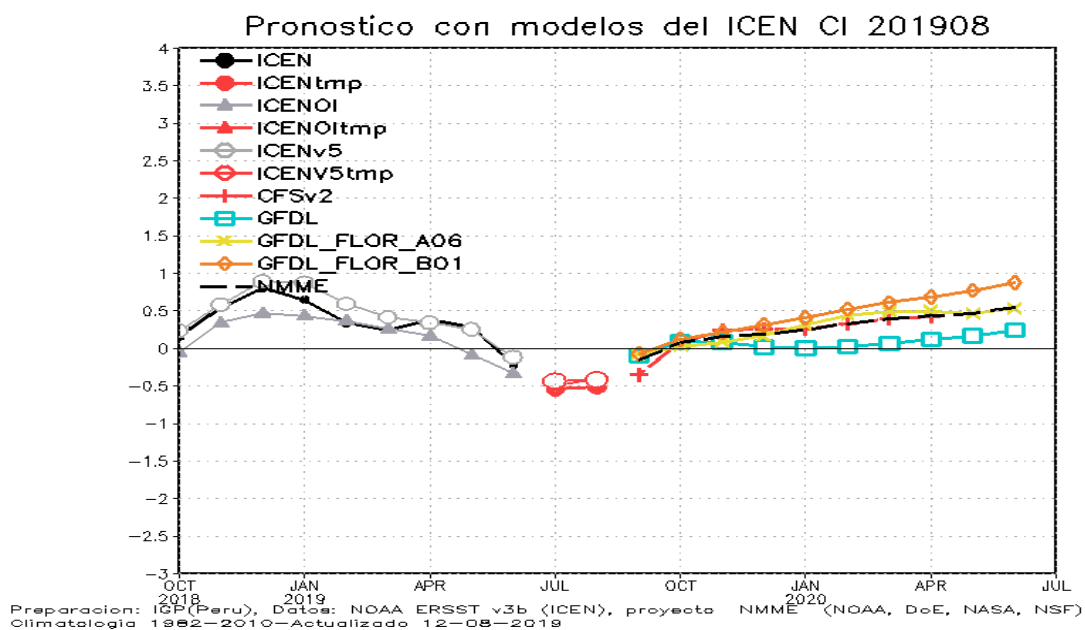


Figura 13. Índice Costero El Niño (ICEN negro con círculos llenos, fuente ERSSTv3; ICEN gris con triángulos, fuente OISSTv2; ICEN gris con círculos, fuente ERSSTv5) y sus valores temporales (ICENtmp, rojo con círculo lleno, ICENtmp-OI, rojo con triángulos llenos, ICENV5tmp, rojo con círculo). Además, pronósticos numéricos del ICEN (media móvil de 3 meses de las anomalías pronosticadas de TSM en Niño 1+2) por diferentes modelos climáticos. Los pronósticos de los modelos CFSv2, GFDL, GFDL_FLOR_A06 y GFDL_FLOR_B01 tienen como condición inicial el mes de agosto de 2019. (Fuente: IGP, NOAA, proyecto NMME).

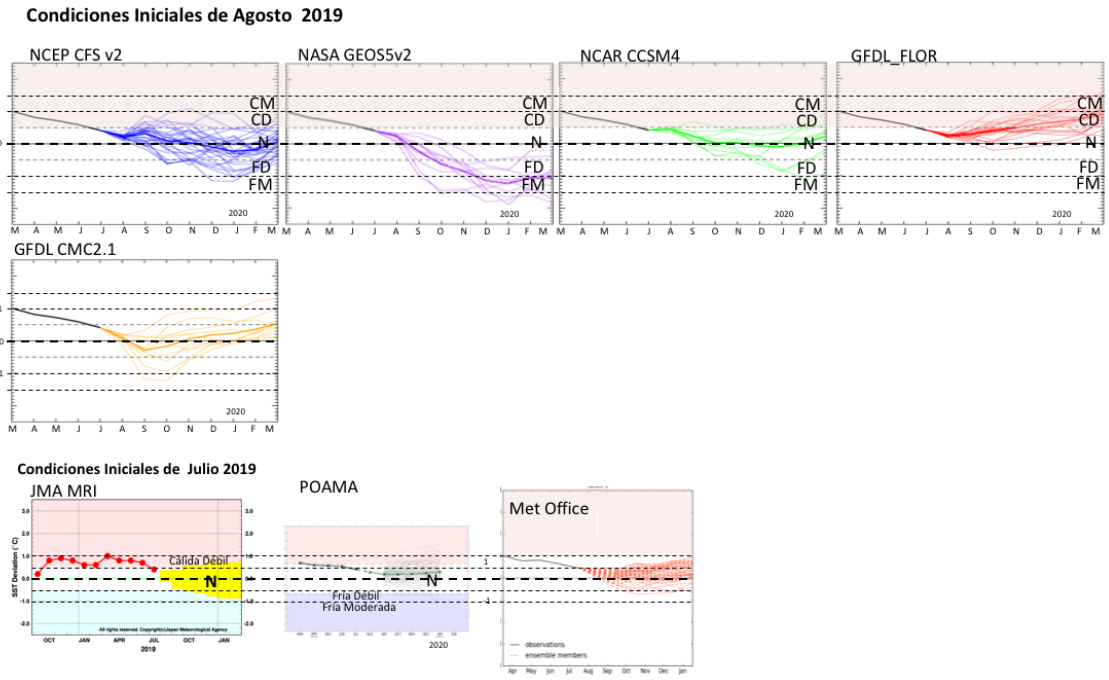


Figura 14. Índice Niño 3.4 mensual observado y pronosticado por los modelos de NMME y otros.